2018,5(38):190.

- [5] 袁怡,凌宾芳,董梅娟,等. 机器人中央型肝癌切除手术的护理配合[J]. 护理学杂志,2020,35 (16):54-56.
- [6] 王昕凝,祖强,祝强,等. 机器人辅助腹腔镜肾移植术1例报道并文献复习[J]. 微创泌尿外科杂志,2018,7(3):159-162.
- [7] 郭曼曼,王涛,许多朵,等. 达芬奇机器人辅助自体肾移植术的护理管理[J]. 微创泌尿外科杂志, 2020,9(6):421-424.
- [8] 刘高伟,陈必良. 达芬奇机器人手术系统在宫颈癌手术中应用概述[J]. 现代仪器与医疗,2016,22(2):5-7.
- [9] 包安竹,张宇.1 例达芬奇机器人辅助下活体供 肾切取术的手术护理[J]. 全科护理,2016,14

(15):1611-1613.

- [10] 肖建生,鄢业鸿,张成,等. 完全机器人腹腔镜腹膜后入路活体供肾切取术的临床应用[J]. 中国内镜杂志,2018,24(11):97-101.
- [11] 王昕凝,祖强,祝强,等. 机器人肾脏切取,离体肾肿瘤切除及机器人自体肾移植术治疗复杂肾肿瘤 1 例报告并文献复习[J]. 微创泌尿外科杂志,2018,7(3):149-153.
- [12] TUGCU V, SENER N C, SAHIN S, et al. Robot-assisted kidney transplantation: Comparison of the first 40 cases of open vs robot-assisted transplantations by a single surgeon [J]. BJU Int, 2018, 121(2): 275-280.

(收稿日期:2022-05-09 修回日期:2022-10-20)

## •案例分析•

# CD20 阴性原发性中枢神经系统弥漫性大 B 细胞淋巴瘤 1 例

冯 澜¹,闵凤玲²△,陈永春³

(1. 扬州大学医学院,江苏 扬州 225000;2. 扬州市中医院风湿血液科,江苏 扬州 225000; 3. 扬州大学附属医院血液科,江苏 扬州 225000)

[摘 要] 原发性 CD20 阴性弥漫性大 B 细胞淋巴瘤是一类罕见的淋巴细胞增殖性肿瘤,常起病于胃肠道、口腔、心包腔等人体腔隙,原发于神经系统者较为罕见。由于其具有高侵袭性、结外侵犯倾向、易产生化疗抵抗性等特点,为临床诊治带来很大挑战。扬州大学附属医院收治 1 例 65 岁 CD20 阴性原发性中枢神经系统弥漫性大 B 细胞淋巴瘤女性患者,常规化疗耐药,经放疗后选用 Bruton 酪氨酸激酶抑制剂联合 PD-1 抑制剂治疗,患者病情得到控制,较治疗前明显好转,该患者目前仍在继续规律治疗中。

[关键词] CD20 阴性; 弥漫性大 B 细胞淋巴瘤; 原发性中枢神经系统淋巴瘤; 病例报告 **DOI**:10.3969/j.issn.1009-5519.2023.02.039 中图法分类号:R733;R551.2 文章编号:1009-5519(2023)02-0357-04 文献标识码:B

原发性中枢神经系统淋巴瘤(PCNSL)病理类型多为 CD20 阳性弥漫性大 B 细胞淋巴瘤(DLBCL),与系统性 DLBCL 比较,具有高侵袭性、化疗耐药、早期复发、低生存率等特点。原发性 CD20 阴性 DLBCL 仅占 DLBCL 患者的 1%~3%,原发于中枢神经系统者更为少见。扬州大学附属医院收治 1 例 CD20 阴性原发性中枢神经系统 DLBCL 初治患者,总结其临床特征及治疗情况,并结合文献回顾,探讨原发性 CD20表达缺失的可能机制及治疗方案,以期提高临床医师对这类少见病的认识。

### 1 临床资料

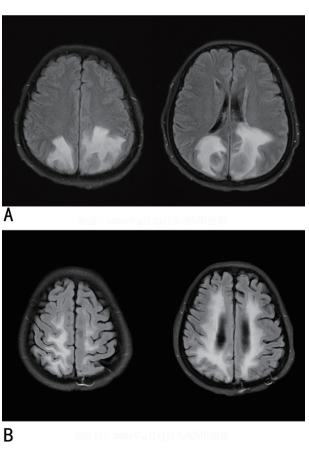
患者,女,65岁。因持续头痛 10 余天于 2020 年

4月收入扬州大学附属医院。既往有高血压病史 10 余年。入院查体:体温 36.8 ℃,血压 158/89 mm Hg (1 mm Hg=0.133 kPa),神志清楚,全身浅表淋巴结不大,心、肺、腹部均未见异常,神经系统查体未见异常。入院查血常规及生化指标均未见异常,血清人类免疫缺陷病毒、Epstein-Barr 病毒(EBV)-DNA、人类8 型疱疹病毒(HHV8)、乙型肝炎及丙型肝炎检查均为阴性。2020 年 4 月 29 日进行头颅磁共振(MR)平扫检查:两侧顶叶、左侧基底节区、两侧颞叶见多发大小不等软组织肿块影,最大约 3.1 cm×2.1 cm,周围见不规则水肿信号包绕,邻近脑室、脑沟及脑池稍变窄,中线结构居中,颅内多发占位,转移瘤可能,淋巴

△ 通信作者,E-mail:1014121694@qq.com。

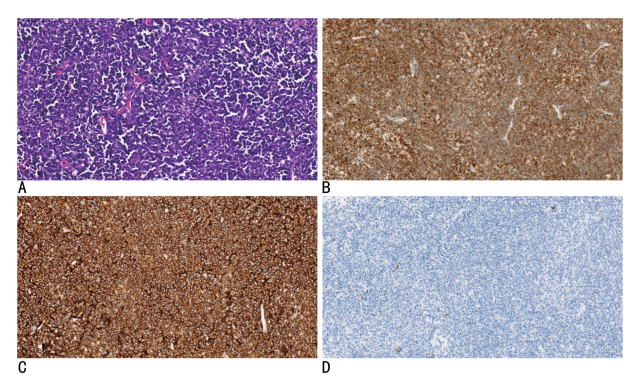
瘤不除外。见图 1。全身正电子发射断层扫描 (PET)-CT:(1)脑内多发混杂密度影,氟-18-脱氧葡 萄糖(18F-FDG)代谢异常增高,标准化摄取值(SUV) 最大值 29.6,考虑为肿瘤;(2)骨髓 FDG 代谢弥漫性 不均匀增高,SUV 最大值 3.0;(3)右肺下叶近胸膜结 节 0.8 cm, FDG 代谢轻度增高, SUV 最大值 1.9; (4) 甲状腺右叶低密度影未见 FDG 代谢增高,考虑为良 性,双侧颈部淋巴结炎;(5)肝脏脂肪浸润,食道炎、胃 炎、十二指肠球炎、痔疮;(6)子宫肌瘤;(7)椎体退行 性变。2020年4月30日行左顶枕叶脑内肿瘤切除、 脑膜扩大修补联合颅骨成形术。脑右侧枕叶肿块免 疫组织化学(免疫组化):肿瘤细胞 CD20(一),CD3 (散在+),LCA(+),CD79a(+++),CD19(++ +), PAX5(+), Mum-1(+), CD4(-), CD8 散在 (+),Bcl-2(约 30%+),CD10(-),Bcl-6(-),S-100 (-), CD38(-), CD138(-), C-myc(约 50%+), EBER(-), TdT(-), ALK(-), Syn(-), CD56(-), ER(-) PR(-), CK7(-), CK19(-), Villin (一),CDX-2(一),Ki-67(80%+)。符合 CD20 阴性 DLBCL,高级别,免疫组化双表达。见图 2。脑肿瘤 组织二代测序:CD79B基因 p. Y196C 错义突变(丰度 77.64%),IGHD3-10-IGHI3 基因结构重排(融合,丰 度 90, 69%), MYD88 基因 p. L265P 错义突变(丰度 31. 75%), TP53 基因 p. R110P 错义突变(丰度 20.41%)。2020年5月13日骨髓细胞学检查:红系 比例偏高,其余大致正常。骨髓流式细胞学:未见 B 细胞克隆性异常。骨髓活检:增生大致正常,未见异 常淋巴细胞增生。基因重排: IGH 重排及 TCR 重排 均阴性。临床诊断: CD20 阴性原发性中枢神经系统 DLBCL 国际结外淋巴瘤研究小组评分为中危。评估 患者健康状况评分为50分,肾功能正常,2020年5月 10 日给予大剂量甲氨蝶呤(MTX, 3.0 g/ $m^2$ 、第 1 天)、甘露醇降颅压及止痛对症治疗。化疗后患者头 痛缓解不明显,伴四肢无力,复查头颅 MR:两侧顶叶、 右侧颞叶多发不规则结节状强化影,较前病灶增多、 增大,部分病灶周围水肿增大,新增右侧脑室受压变 窄及中线左偏。2020年6月3日调整化疗方案为大 剂量 MTX(3.5 g/m²、第1天)、阿糖胞苷(1.0 g/m²、 每 12 小时 1 次、第 2~3 天)联合替莫唑胺(220 mg、 每天1次、第1~5天)。化疗后患者头痛有所缓解,1 个月后再次出现头痛加重、呕吐、视力减退、左侧肢体 无力、自主行走不能。左侧肢体肌力为3级。复查头 颅 MR:两侧顶部占位较前增大,周围脑实质水肿范围 增大,右侧脑室及外侧裂池受压明显,考虑疾病进展。 2020年9月19日给予 Bruton 酪氨酸激酶(BTK)抑

制剂联合 PD-1 抑制剂化疗方案维持治疗,即给予替雷利珠 200 mg(第 1 天),泽布替尼 320 mg/d,治疗21 d 为 1 个周期。每完成 2 个周期治疗复查头颅MR。18 个周期开始前复查头颅MR 平扫及增强:左侧枕部板下少许短 T1 信号基本吸收,右侧脑室后角旁结节显示不清,DWI 上右侧脑室体部旁稍高信号未见。2022 年 2 月 9 日行第 21 个周期治疗,截至 2022年 4 月仍在规律治疗中,监测头颅MR 未见明显进展。见图 1。患者一般情况良好,无明显化疗不良反应,食欲及大小便均正常。



注: A. 初诊(2020 年 4 月 29 日)头颅 MR 图像; B. 治疗后(2022 年 4 月 13 日)头颅 MR 图像。

图 1 治疗前后头颅 MR 影像



注: A. 苏木精-伊红染色(光镜下放大 400 倍); B. Bcl-2(光镜下放大 200 倍); C. CD19(光镜下放大 200 倍); D. CD20(光镜下放大 200 倍)。

图 2 脑右侧枕叶肿块病理检查(免疫组化)

#### 2 讨 论

原发性 CD20 阴性 DLBCL 是一类罕见的 B 细胞淋巴瘤,占 DLBCL 患者的 1%~3%<sup>[1]</sup>。亚型包括浆母细胞淋巴瘤(PBL)、原发性渗出性淋巴瘤(PEL)、HHV8 阳性 DLBCL、ALK 阳性大 B 细胞淋巴瘤 4 种类型,在临床表现、组织学、遗传学特征方面均有很大的异质性,PBL 最为常见,占所报道病例的 75%<sup>[2]</sup>。大多数具有结外侵犯、更具侵袭性等临床特点,以及对利妥昔单抗和常规化疗耐药抵抗,甚至有些患者病

情急剧进展,导致没有机会接受化疗<sup>[3-4]</sup>。PCNSL则是起源于中枢神经系统的淋巴瘤,相对罕见,占所有非霍奇金淋巴瘤的 1%~2%。超过 90%的 PCNSL患者组织学分型为 DLBCL<sup>[5]</sup>,表达 B 细胞抗原(CD19、CD20 和 CD79a),也具有临床侵袭性强、预后差等特点。

多项研究发现,原发性 CD20 阴性 DLBCL 与高侵袭性、化疗耐药、早起复发及生存率低相关。QU-NAJ等<sup>[6]</sup>对 801 例原发性 CD20 阴性 DLBCL 患者预后的研究表明,与 DLBCL 患者 56 个月的中位总生存期(OS)比较,原发性 CD20 阴性 DLBCL 患者预后明显更差,其中 228 例 PEL 患者为 5 个月,481 例 PBL患者为 15 个月,15 例 ALK 阳性大 B细胞淋巴瘤患者为 13 个月,而 77 例 HHV8 阳性 DLBCL 患者未获得 OS 数据。二者预后的差异或许与 CD20 阴性表达密切相关。

DLBCL 是一种成熟的 B细胞肿瘤,肿瘤细胞表 达 B 细胞标志,特别是 CD19、CD20、CD22、CD79a 和 PAX5。但 CD20 缺失也可发生在 B 细胞淋巴瘤中, 造成 CD20 表达缺失的原因分为原发性和继发性,继 发性 CD20 表达下调或缺失多见于接受免疫治疗(包 含利妥昔单抗治疗)后复发性 DLBCL[7-9]。而原发性 CD20 表达缺失的机制尚未明确,CD20 是一种非糖基 化疏水磷酸跨膜蛋白,相对分子质量为 33×10<sup>3</sup> ~ 37×103,由位于染色体 11q12.2 的 MS4A1 基因编 码,由4个疏水的跨膜结构域、1个胞内结构域和2个 胞外结构域(大环和小环)组成[10]。在目前报道的文 献中, CD20 表达缺失的可能机制: (1) 跨膜区内 MS4A1 基因错义突变而导致 CD20 丢失;(2)非霍奇 金淋巴瘤中CD20C末端缺失突变,C端缺失突变与 CD20 表达下调或阴性密切相关[11-13]。目前,对 CD20 表达缺失的机制仍需进一步研究。

CD20 阴性 DLBCL 患者对标准环磷酰胺、阿霉素、长春新碱联合泼尼松化疗方案反应不佳,目前,仍没有确定 CD20 阴性 DLBCL 的标准治疗方式<sup>[2]</sup>。而对原发性中枢系统淋巴瘤仍以大剂量 MTX 为基础化疗,联合阿糖胞苷治疗相比于单用 MTX 疗效更佳<sup>[5]</sup>,但患者中位生存期较短,多数患者短期复发。本例患者术后脑肿瘤组织二代测序提示 CD79B 基因p. Y196C 错义突变(丰度 77. 64%),MYD88 基因p. L265P 错义突变(丰度 31. 75%)。有研究发现,核因子 κB(NF-κB)信号的激活可能是调控 PCNSL 的核心途径,Toll 样受体和 B 细胞受体信号通路中MYD88、CD79B基因突变导致下游 NF-κB 信号通路的异常激活可能是 PCNSL 发生的主要原因。在

35%~50%的 PCNSL 患者中发现 MYD88 265L 突变,CD79B 是 B细胞受体信号通路的一个组成部分,约有 20%的患者发生突变<sup>[14]</sup>。BTK 抑制剂可阻断BCR 信号下游 NF-κB 的激活,在复发/难治性活化 B细胞型 DLBCL 患者中具有显著的临床活性,尤其是同时含有 CD79B 突变和 MYD88 L265P 突变的肿瘤患者<sup>[15]</sup>。LIONAKIS 等<sup>[16]</sup>研究结果显示,在 18 例PCNSL 接受伊布替尼单药治疗的患者中,94%的患者治疗后肿瘤缩小,包括伴 CD79B、MYD88 突变的PCNSL 患者;在接受伊布替尼联合化疗的 14 例可评估患者中,86%的患者完全缓解。

在恶性肿瘤疾病中 PD-1 及其配体 PD-L1 称为 PD-1/PD-L1 系统, 二者的结合可抑制 T 细胞的增 殖、细胞因子的释放和细胞毒作用,从而导致肿瘤特 异性 T 细胞的耗竭和凋亡[17]。在 PCNSL 患者中 9p. 24/PD-L1/PD-L2 拷贝数改变和易位很常见,这些 特性在免疫逃逸中具有十分重要的作用[17]。NAY-AK 等<sup>[18]</sup>对 4 例复发/难治性 PCNSL 患者予以 PD-1 单抗治疗,结果均有客观的影像学反应,其中3例患 者为完全应答,无进展生存期均在13个月以上。最 近一项以奥瑞布替尼为基础联合化疗和(或)免疫治 疗 PCNSL 患者的临床研究中,4 例患者接受奥布替 尼、卡瑞利珠单抗(PD-1单抗)联合福莫斯汀治疗,奥 布替尼中位治疗持续时间为 4.62 个月,1 例患者完全 缓解,1 例患者未确认完全缓解,2 例患者部分缓解, 总有效率为 100%,且 6 个月无进展生存率也达到 100%<sup>[19]</sup>。BTK 抑制剂联合 PD-1 单抗在该研究中展 现出良好的疗效,也为两药联合治疗提供了临床实践 依据,但目前对两药联合治疗的具体机制尚未有明确 定论,仍需继续研究。

本例患者先后予以化疗均未取得良好疗效,后改为泽布替尼联合替雷利珠单抗治疗疾病得到控制,目前,已进行了20个周期化疗,跟踪监测影像学未见明显进展复发表现,患者精神尚可,一般情况良好,继续给予当前治疗方案并随访。

#### 参考文献

- [1] CASTILLO J J, CHAVEZ J C, HERNANDEZ-ILIZALITURRI F J, et al. CD20-negative diffuse large B-cell lymphomas: Biology and emerging therapeutic options[J]. Expert Rev Hematol, 2015, 8(3): 343-354.
- [2] DEVI K, ALI N, AHMED A. Case report of primary CD20 negative diffuse large B-cell lymphoma[J]. Oxf Med Case Reports, 2021

- (11):omab114.
- [3] TASLEEM K, DELONG L. Diagnosis and treatment of CD20 negative B cell lymphomas[J]. Biomark Res, 2017, 5:5.
- [4] GAMONET C, BOLE-RICHARD E, DELHE RME A, et al. New CD20 alternative splice variants: Molecular identification and differential expression within hematological B cell malignancies[J]. Exp Hematol Oncol, 2016, 5(1):7.
- [5] CHIHARA D, DUNLEAVY K. Primary central nervous system lymphoma: Evolving biologic insights and recent therapeutic advances [J]. Clin Lymphoma Myeloma Leuk, 2021, 21(2): 73-79.
- [6] QUNAJ L, CASTILLO J J, OLSZEWSKI A J. CD20-negative large B-cell lymphomas: Analysis of the national cancer database [J]. Blood, 2016,128:4226.
- [7] TOMITA A. Genetic and epigenetic modulation of CD20 expression in B-cell malignancies: Molecular mechanisms and significance to rituximab resistance[J]. J Clin Exp Hematop, 2016, 56(2):89-99.
- [8] MAESHIMA A M, TANIGUCHI H, NOMO-TO J, et al. Histological and immunophenotypic changes in 59 cases of B-cellnon-Hodgkin's lymphoma after rituximab therapy[J]. Cancer Sci, 2009, 100(1):54-61.
- [9] NAKAMAKI T, FUKUCHI K, NAKASHIMA H, et al. CD20 gene deletion causes a CD20-negative relapse in diffuse large B-cell lymphoma [J]. Eur J Haematol, 2012, 89(4): 350-355.
- [10] PAVLASOVA G, MRAZ M. The regulation and function of CD20: An "enigma" of B-cell biology and targeted therapy[J]. Haematologica, 2020, 105(6):1494-1506.
- [11] RUSHTON C K, ARTHUR S E, ALCAIDE M, et al. Genetic and evolutionary patterns of treatment resistance in relapsed B-cell lympho-

- ma[J]. Blood Adv, 2020, 4(13): 2886-2898.
- [12] TERUI Y, MISHIMA Y, SUGIMURA N, et al. Identification of CD20 C-terminal deletion mutations associated with loss of CD20 expression in non-Hodgkin's lymphoma [J]. Clin Cancer Res, 2009, 15(7): 2523-2530.
- [13] LI J, ZHAO S, WANG J, et al. CD20-negative diffuse large B cell lymphoma: A comprehensive analysis of 695 cases [J]. Tumour Biol, 2016,37(3):3619-3637.
- [14] CAI Q, FANG Y, YOUNG K H. Primary central nervous system lymphoma: Molecular pathogenesis and advances in treatment [J]. Transl Oncol, 2019, 12(3):523-538.
- [15] GOLDWIRT L, BECCARIA K, PLE A, et al. Ibrutinib brain distribution: A preclinical study [J]. Cancer Chemother Pharmacol, 2018, 81 (4):783-789.
- [16] LIONAKIS M S, DUNLEAVY K, ROSCHE WSKI M, et al. Inhibition of B cell receptor signaling by ibrutinib in primary CNS lymphoma[J]. Cancer Cell, 2017, 31(6):833-843.
- [17] CHAPUY B, ROEMER M G M, STEWART C, et al. Targetable genetic features of primary testicular and primary central nervous system lymphomas[J]. Blood, 2016, 127(7): 869-881.
- [18] NAYAK L, IWAMOTO F M, LACASCE A, et al. PD-1 blockade with nivolumab in relapsed/refractory primary central nervous system and testicular lymphoma[J]. Blood, 2017, 129(23): 3071-3073.
- [19] WU J J, WANG W H, DONG M, et al. Orelabrutinib-bruton tyrosine kinase inhibitor-based regimens in the treatment of central nervous system lymphoma: A retrospective study [J]. Invest New Drugs, 2022, 40(3):650-659.

(收稿日期:2022-03-29 修回日期:2022-09-18)